

8999

Bibl. Jag.

IV

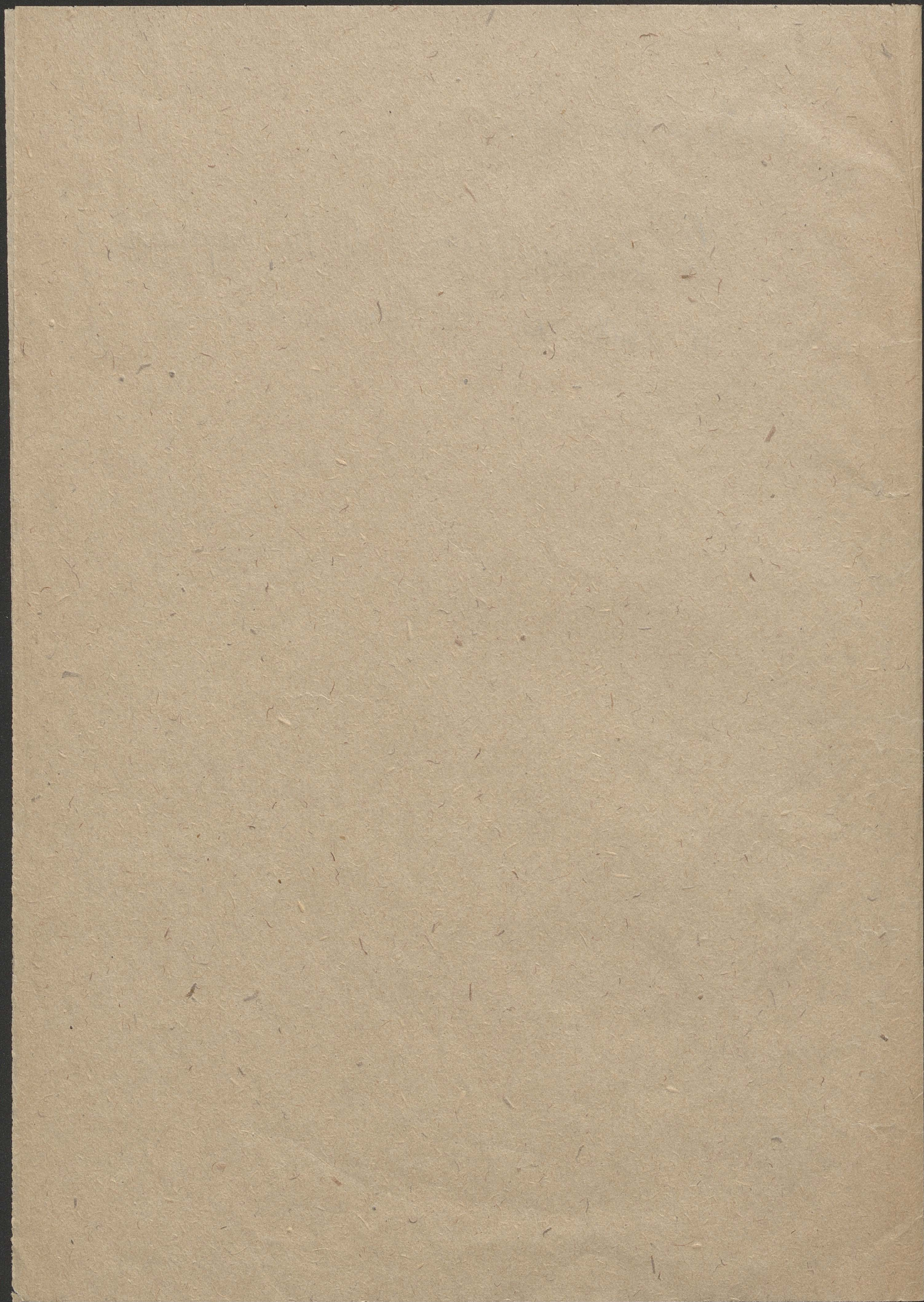


Notenson Wt.

La dissociation de la vapeur
d'iode et sa fluorescence

Reçu par
Ann 41, 1892

Sp. 10.5 de 284



Dysocjacja pary jodu i jej fluorescencja

H. Landau et Ed. Stenz.

La dissociation de la vapeur d'iode et sa fluorescence.

Mémoire

de M. St. Landau et Ed. Stenz,

I. But de ce travail.

présenté, dans la séance du

1919,

par H. Landau

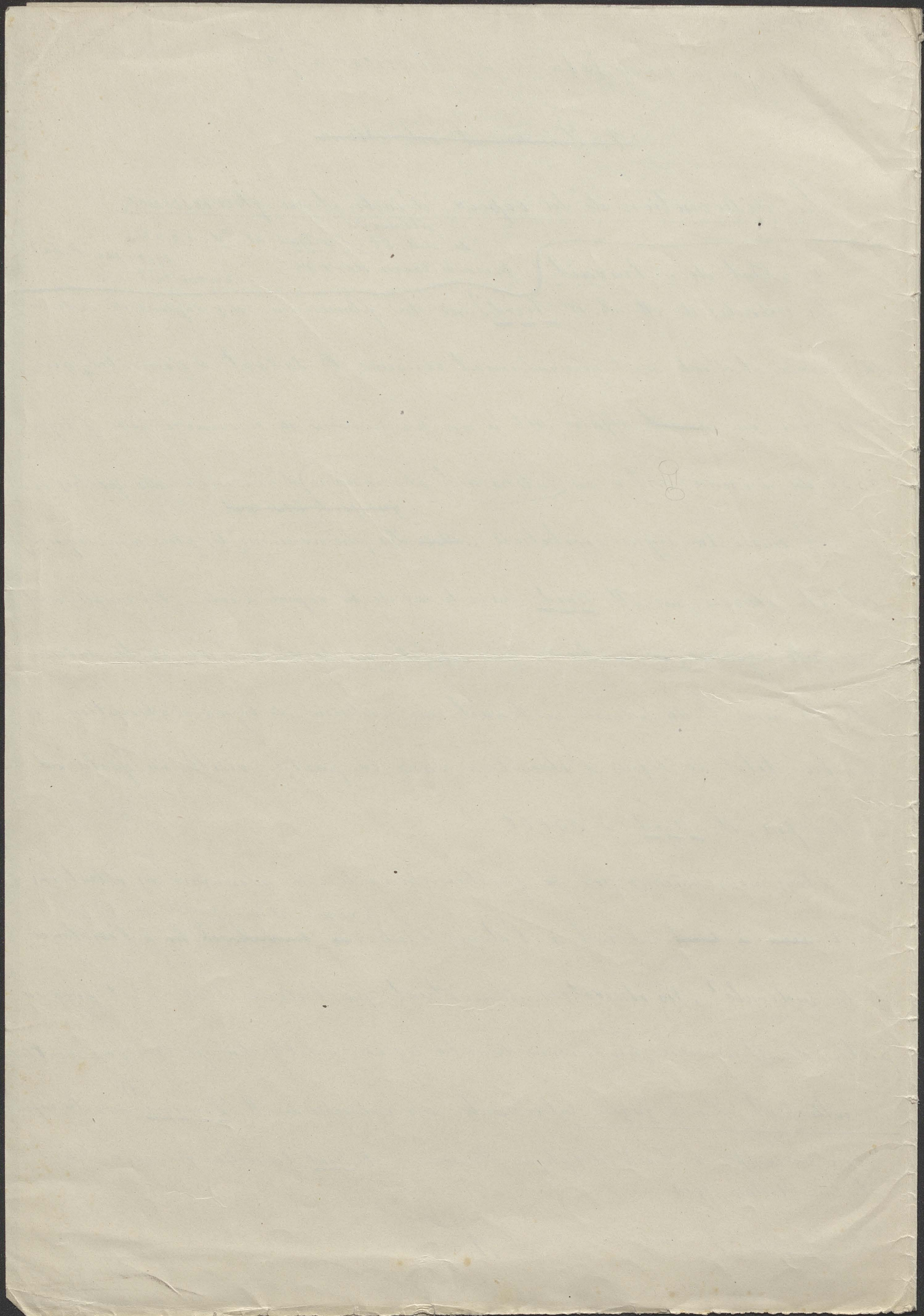
et Stenz m.t.

Les recherches de M. R. W. Wood¹⁾ sur la fluorescence des vapeurs de sodium, de mercure et d'iode sont généralement connues. Ce savant a démontré que, dans ces cas, on ~~avait~~ affaire soit à un phénomène de résonance pure (ligne 2536 du mercure), soit à un (intéressant phénomène) d'émission des spectres contenant aussi la ligne excitatrice. ~~Les phénomènes les plus compliqués~~ ont été observés par M. Wood dans le cas de la vapeur d'iode. En employant une forte dispersion, on a trouvé par exemple que la région du spectre située entre les raies D du Sodium contenait une centaine de lignes d'absorption; le nombre total de lignes d'absorption dans la partie visible du spectre ~~ont~~ a été évalué par M. Wood à 35000.

Nous nous sommes posé la question suivante: le mécanisme des vibrations est-il ~~lié~~ ^{ne serait-il lié (plutôt} inhérent à l'atome d'iode; ~~ou~~ ^{lié} à l'existence de la molécule? Nos observations démontrent que l'atome d'iode n'est guère capable de fluorescence, ^{tout} au moins dans la région visible du spectre; ces résultats se rattachent d'une façon intéressante aux recherches de M. Duvoy²⁾ sur la vapeur

¹⁾ Voir par exemple le traité d'Optique Physique de M. Wood, traduction française, Paris, Gauthier-Villars, 1914.

²⁾ L. Duvoy. Le Radium, 1912, p. 177.



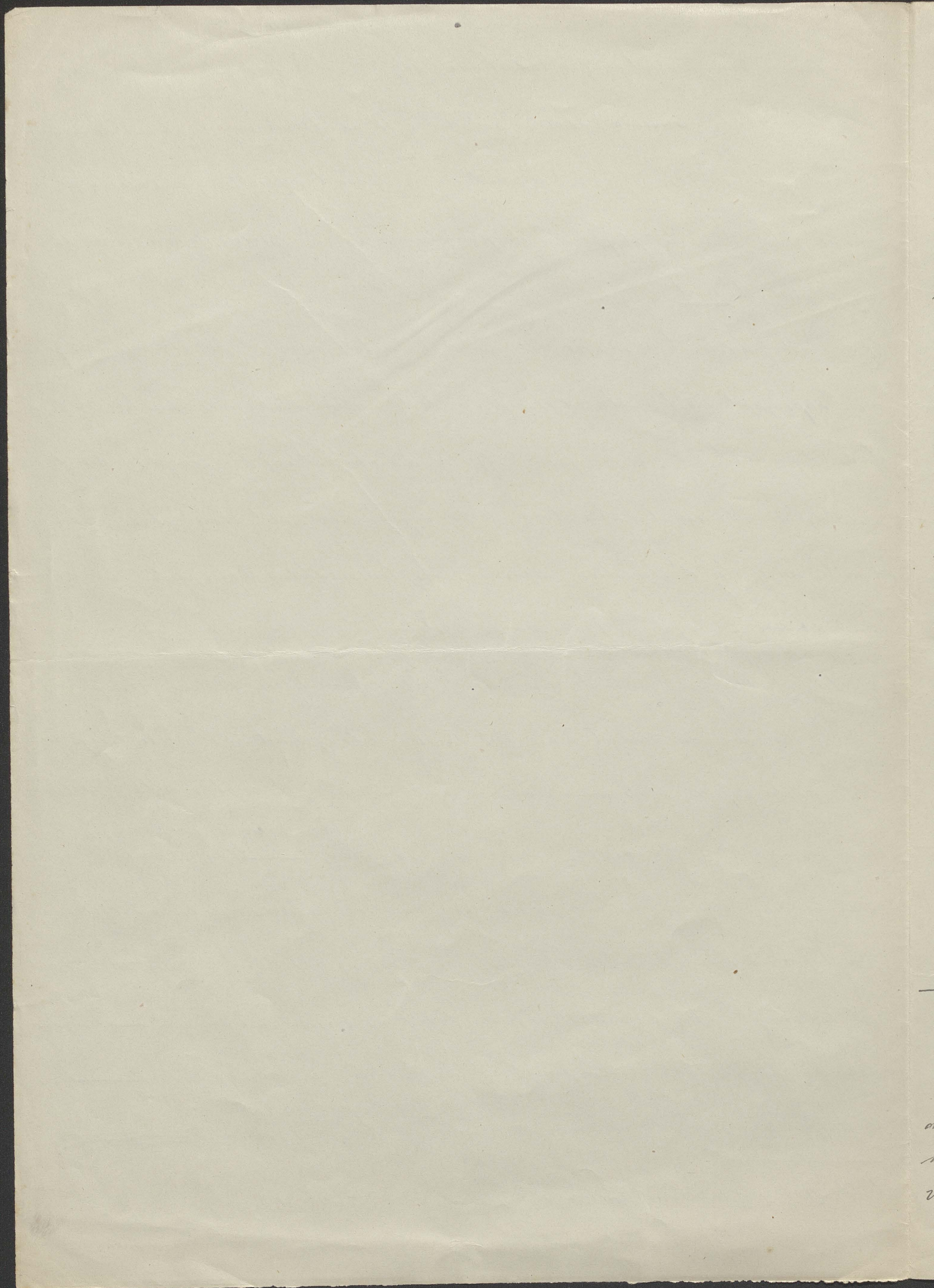
2

de sodium. Cet auteur a montré que la fluorescence de la vapeur
de sodium chimiquement pur se réduit aux lignes D; il admet que les phénomènes
compliqués qu'on y ~~observe~~ observe sont dus à la combinaison des atomes de sodium
avec des molécules étrangères. A ce point ^(de vue) on ne saurait admettre que l'atome de so-
dium fût aussi compliqué que le feraient croire les spectres de résonance obte-
nus par M. Wood.

Il paraîtrait à première vue que nos résultats auraient pu être prévus d'avance
en s'appuyant sur le spectre d'absorption de la vapeur d'iode aux hautes tempéra-
tures. Cependant M. Hoken¹⁾, qui a effectué des observations très complètes sur les
spectres d'émission et d'absorption de la vapeur d'iode, dit avoir observé que l'in-
tensité du spectre d'absorption diminue aux températures élevées, mais il n'a ja-
mais ~~remarqué~~ ^{ce spectre} remarqué qu'il disparaît totalement; il n'a pas pu observer un
spectre d'absorption distinct appartenant à la vapeur d'iode dissociée. (l.c. p. 259)

Le plan de notre travail a été fort simple. Il s'agissait d'élever la tempéra-
ture de la vapeur d'iode, maintenue à basse tension, et d'observer la fluorescence
dans ces conditions. On a alors à considérer trois facteurs ^(qui peuvent exercer une) ~~sur~~ ^{sur} ~~influence~~ ^{influence} le phénomène
agitation thermique des molécules; pression; ~~et~~ dissociation. La pression restait constante dans
la plupart de nos expériences; aux températures au-dessus de 400°C, la dissociation étant
pratiquement nulle, on pouvait observer l'effet de l'agitation thermique. ^{(A des} ~~aux~~ ^{tempéra-}
tures plus élevées, ^{les effets de} l'agitation thermique et ^{la} dissociation devaient ^{se} ~~superposer~~ ^{superposer} leur effet; nous
^{(ainsi que nous l'expliquons dans la suite,} ~~croisons~~ ^{croisons} qu'il sera possible de séparer expérimentalement ^{les effets dus à} ces deux facteurs. ~~voir page~~

¹⁾ H. Hoken. Über die Spectren des Jod. Ann. d. Physik, 65, 1898, p. 257.



II. Influence de la température; observations au dessous de 400°C .

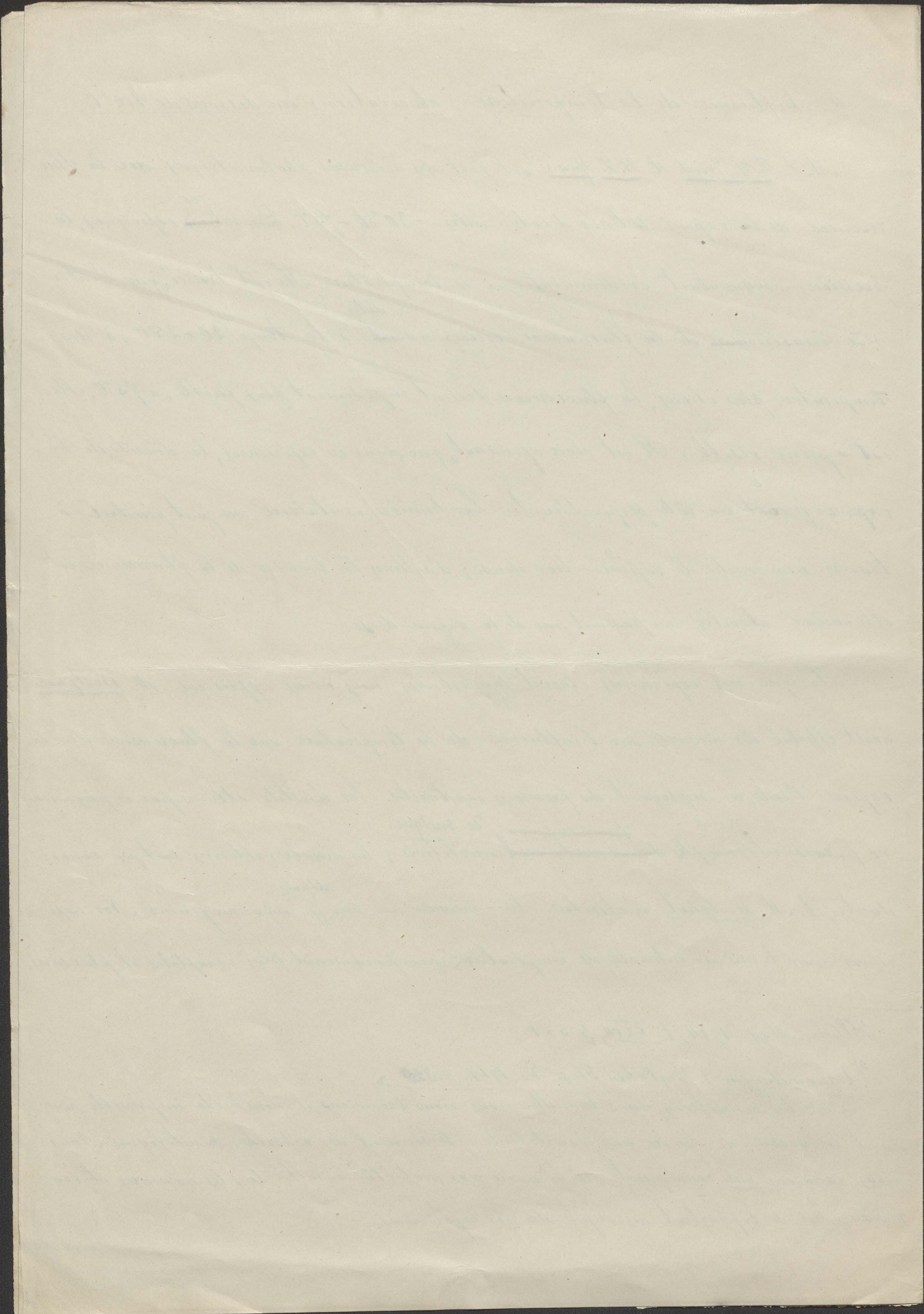
M.M. R.W. Wood et W.P. Speas ont fait des recherches photométriques sur la fluorescence de la vapeur saturée d'iode entre -30° et $+75^{\circ}\text{C}$. Dans ~~les~~^{ces} expériences, la pression augmentait évidemment avec la température. Ils ont trouvé que l'intensité ^{ait,} ~~maximale~~^a de la fluorescence correspondait à la temp.^{de} $20-25^{\circ}\text{C}$; à des températures plus élevées, la fluorescence devient rapidement plus faible; à 75°C , elle est à peine visible. Il est clair cependant, que, dans ces expériences, la densité de la vapeur jouait^e un rôle prépondérant. La lumière excitatrice ne peut pénétrer à travers une couche de vapeur très dense; d'ailleurs la lumière de la fluorescence est elle-même absorbée en passant par de la vapeur dense.

Lorsque nos expériences étaient déjà achevées, nous avons appris que M. Westphal²⁾ avait effectué des mesures sur l'influence de la température sur la fluorescence de la vapeur d'iode, en employant des pressions constantes. Les résultats obtenus par ce physicien ne paraissent ^{point} ~~exempts d'une certaine~~ ^{d'une certaine} ~~(incertitude)~~ ^{de quelque}; les nombres obtenus sont peu concordants, et M. Westphal n'attribue lui-même un sens ^{de fin} qu'aux moyennes. Nos expériences dans le même intervalle de températures nous paraissent plus complètes et plus sûres,

¹⁾ Phil. Mag. 1914, t. XXVII, p. 531

²⁾ Verhandlungen d. Deutschen Phys. Ges., 1914, p. 822

(Dans les conditions, dans lesquelles nous nous trouvions, il nous a été impossible pendant la guerre de suivre avec exactitude le courant des recherches scientifiques. Nous nous excusons par conséquent de n'avoir pas peut-être consulté tous les mémoires et travaux qui se rapportent au sujet de nos expériences.

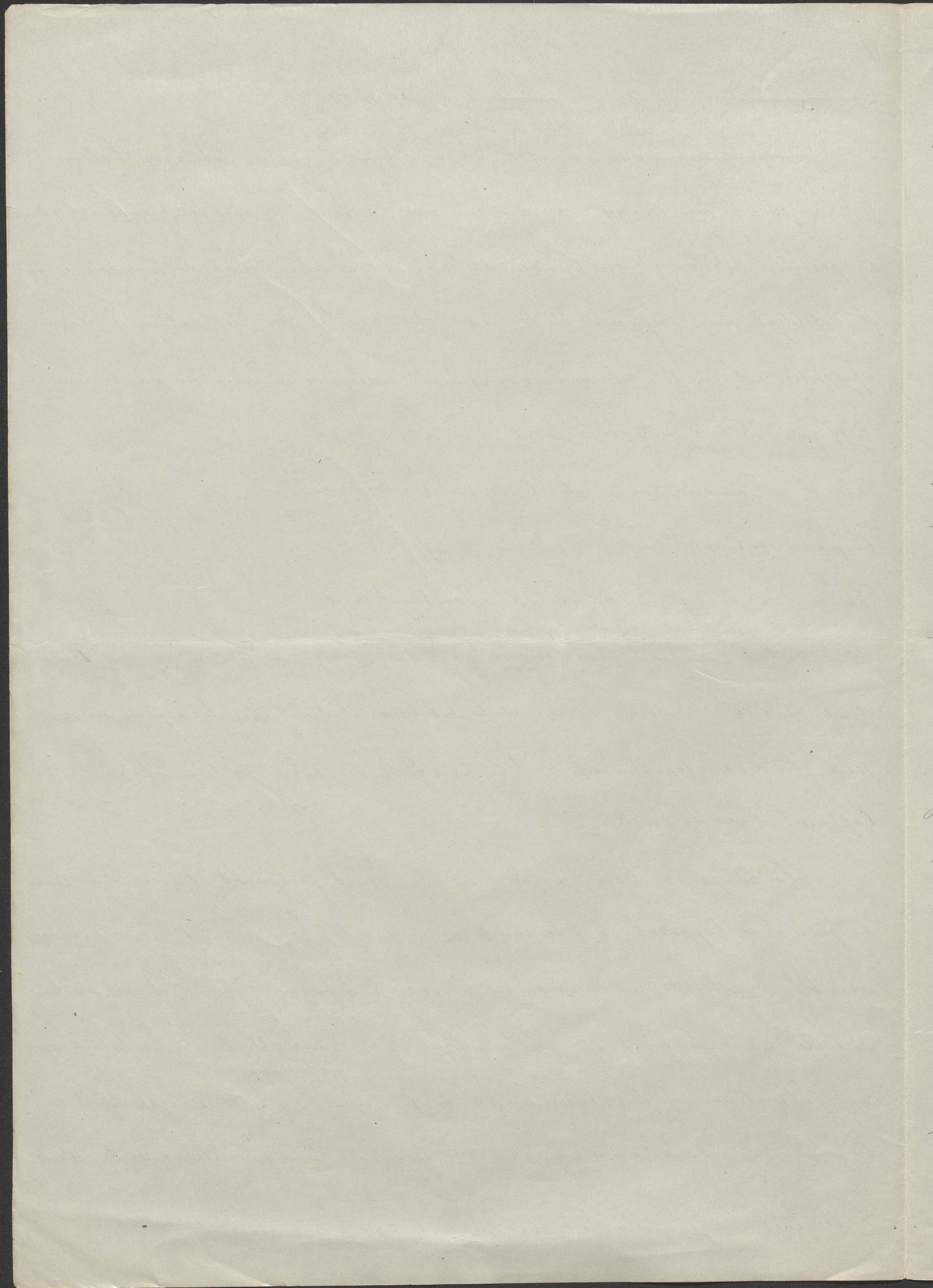


(~~c'est pourquoi~~) nous en donnons ^{ici} ~~ci-dessous~~ une description.

Dans nos recherches nous avons eu soin de n'employer que des substances absolument pures au point de vue chimique. L'iode du commerce a été distillé deux fois dans le vide; dans la première distillation nous l'avons additionné de Hg . Les cristaux de la substance ont été introduits dans l'appareil de la manière suivante. Un petit ballon de forme appropriée (A, fig. 1) a été soudé à la pompe à mercure de Baede ainsi que le montre la figure. Le tube en U sert à barrer le passage à la vapeur d'iode dans la pompe et à la vapeur de mercure dans l'appareil contenant l'iode. A cette fin il suffit de le plonger dans du CO_2 solide. La partie à boules dont la longueur est de 25 ^{centimètres} ^{recouvert} contient à l'origine les cristaux d'iode qui doivent servir à l'expérience. Le tube B sert de réservoir de la substance étudiée dans les expériences ^{définitives} ~~définies~~. Les deux étranglements α_1 et α_2 permettent de séparer les différentes parties de l'appareil l'une de l'autre.

Fig. 1.

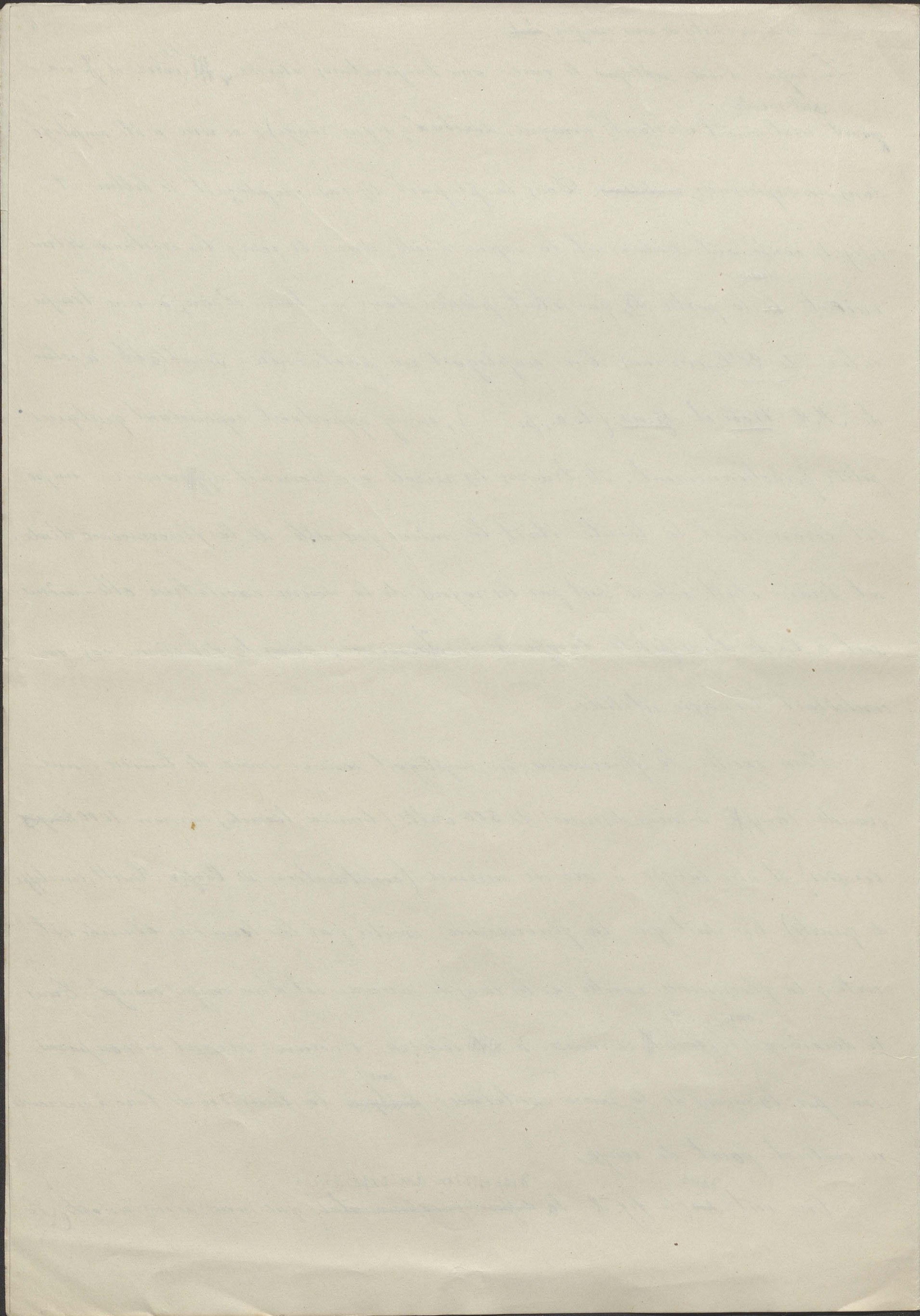
La pompe étant ^{mise} en marche, on chauffait fortement et avec soin toutes les parties de l'appareil, sauf la partie inférieure de C₁ qui contenait l'iode. Les traces des substances volatiles qui auraient pu adhérer aux parois de verre ^{ainsi qu'une} ~~et une~~ partie de l'iode présent passaient par sublimation dans le tube ^{en} U. On chauffait l'appareil pendant une ou deux heures; ^{à la lampe} ensuite on le séparait ^{en} α_2 et l'on plongeait le tube B dans de l'acide carbonique solide. Le lendemain une quantité suffisante d'iode se trouvait dans la partie B₁ et l'on pouvait ~~séparer~~ séparer la partie à boules.



La vapeur d'iode attaque le verre aux températures élevées. ~~III~~ ^{Le} verre de Jena ^{est montré} ~~qui est~~ relativement résistant (marque, "durebax", signe rouge); ce verre a été employé dans nos expériences. ~~intéressant~~ Dans la plupart des cas on plaçait le ballon A (fig. 1) contenant seulement la vapeur d'iode, dans le four; les cristaux se trou-
vaient ^{dans} la partie B, qui était placée dans un bain d'eau, à une température (de 20°C environ). On employait un photomètre semblable à celui de M. Wood et Speas (l. c., p. ---), en y apportant cependant quelques petits perfectionnements. A travers les micols on pouvait appercevoir un petit écran dont la teinte était la même que celle de la fluorescence d'iode, cet écran était éclairé soit par les rayons de la source excitatrice elle-même, soit à l'aide d'une petite lampe à incandescence; dans le deuxième cas on contrôlait l'énergie utilisée.

Pour exciter la fluorescence, on employait comme source de lumière une grande lampe à incandescence de 500 watts (lampe blanche, environ 1000 ~~longs~~ bougies) et une lampe à arc de mercure (construction de Cooper Hewitt, enveloppe de quartz). On sait que la fluorescence excitée par la lumière blanche est verte; la fluorescence excitée par les rayons de mercure est d'un rouge orange. Dans le deuxième ^{cas} (il ^{a)} ~~fallait~~ renoncer à ~~l'illuminer~~ éclairer l'écran servant de comparaison par les rayons de la source excitatrice, ^{car} ~~parce que~~ la lumière de l'arc à mercure ne contient point de rouge.

On voit ^{dans} (la fig. 2 la ^{disposition des expériences} ~~différent~~ expérimental) que nous avons adopté. Le



four électrique, suffisamment isolé, contient à l'intérieur des diaphragmes; le tube qui conduit au récipient des cristaux d'iode^{III} est recouvert de façon à ne pas être traversé par les rayons de lumière.

Fig. 2.

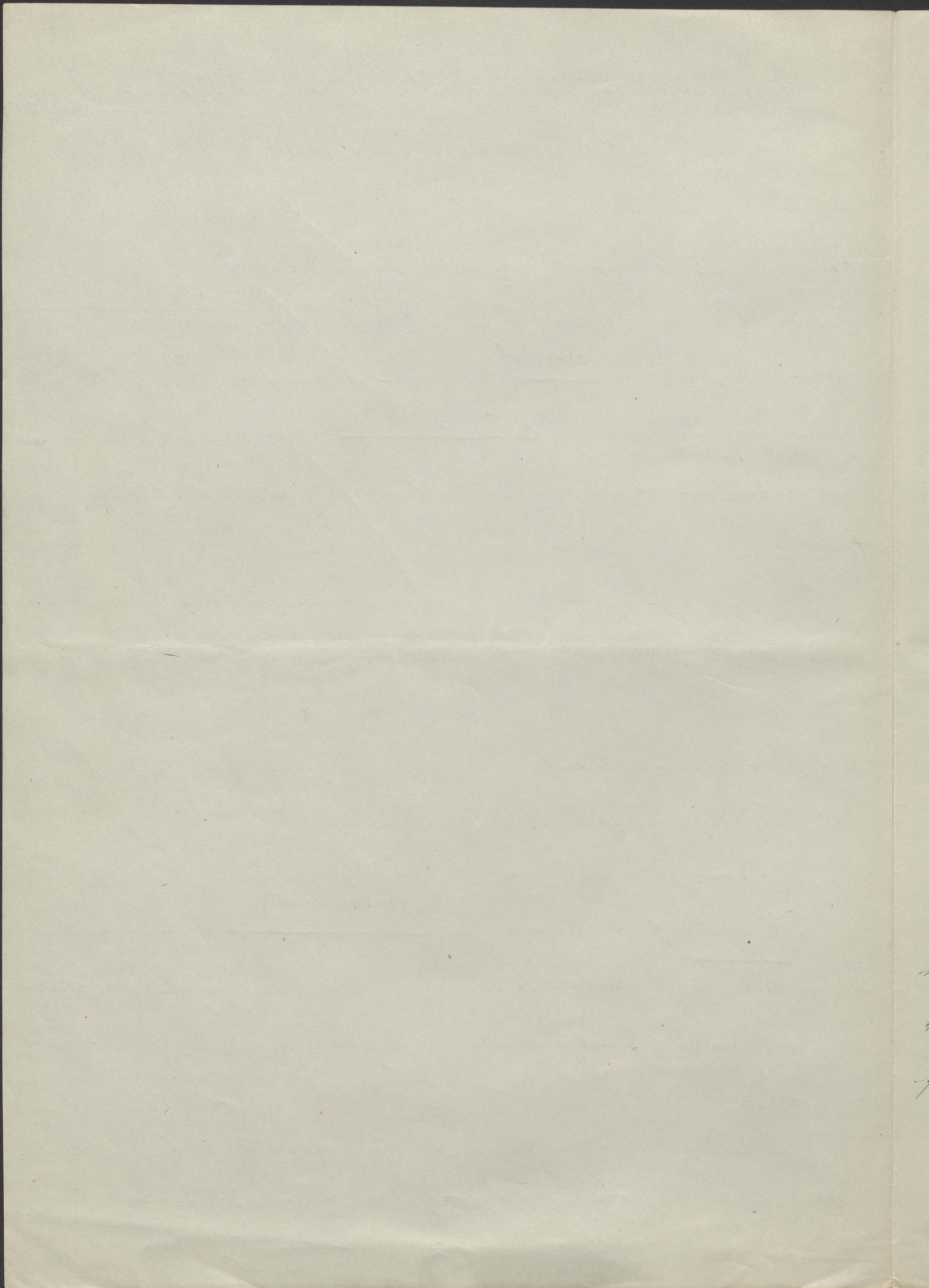
Une ^{des} ouvertures est recouverte par une petite plaque mince de mica; $\frac{1}{1}$ est une petite glace^m qui réfléchit la lumière vers l'écran servant de comparaison; $\frac{2}{2}$ est un ~~fragment~~ ^{fragment} de miroir ^{du} galvanomètre; il occupe la partie centrale du champ de vision. ~~On tient ainsi une~~ ^{Cette} disposition expérimentale, ~~qui~~ rappelle dans une certaine mesure le photomètre bien connu de M. M. Lumière et Brodhūm.

Lorsque l'on employait la lampe à mercure, on chauffait le ballon avec la vapeur d'iode au moyen du gaz d'éclairage. Le four était aménagé de manière à permettre à l'image de l'arc de se former dans l'axe du ballon cylindrique qui contient la vapeur d'iode. On voit le dispositif dans la fig. 3. Le four à gaz était chauffé à l'aide d'un chalumeau à quatre flammes.

Fig. 3

La principale difficulté de nos mesures ^{consistait dans} ~~était provoquée par~~ le changement de la ~~de fluorescence~~ couleur de la vapeur chauffée. La fluorescence verte devient jaunâtre; la fluorescence rouge-orangée acquiert une nuance verdâtre. La vapeur refroidie revient aux couleurs primitives.

Le tableau I résume la marche d'une expérience et les résultats obtenus; il concerne la fluorescence rouge^{III} excitée par la lampe à mercure; la tempé-



nature a été mesurée à l'aide d'un ^{couple} ~~thermocouple~~ argent-constantan. Le tableau démontre que l'intensité de fluorescence diminue lorsque la température s'élève; ~~le phénomène est réversible.~~
~~augmentant la température & abaissant~~ ~~intensité.~~

Tableau I

Influence de la température sur la fluorescence rouge de la vapeur saturée d'iode (pression 0.25 mm.)

Température °C	Angle de rot. de l'anal. α	Température °C	Angle de rot. de l'anal. α
36	30.5	338	23.5
35	30.4	328	25.5
35	30.8	313	25.6
35	30.8	310	24.4
28	29.5	305	25.5
112	28.0	260	27.1
152	28.3	234	25.9
172	27.5	198	27.3
206	26.4	178	26.9
226	26.4	152	28.5
240	27.3	134	29.1
246	27.3	114	28.6
256	26.1	102	29.4
259	26.1	90	27.5
278	26.5	74	29.6
298	25.1	62	29.5
312	25.9	46	29.3
318	24.0	42	31.3
322	24.4	42	29.5
338	25.0		
358	23.8		

En employant la lumière blanche on observe le même aspect du phénomène; c'est ce qui ressort de la fig. 4. Les observations faites en élevant la température y sont marquées par des points; ^{correspondent} aux observations faites pendant le refroidissement de la vapeur. ~~correspondent~~ ^{les croix.}

Fig. 4.

est
 Il ~~serait~~ ~~possible~~ possible que la diminution de l'intensité de la fluorescence

observée provient au moins partiellement ^{du changement} de ~~la~~ couleur. On con-
naît la difficulté ^{qu'il y a à comparer} ~~[qui prouve l'œil dans la comparaison]~~ des couleurs de différentes
nuances.)

(Il n'est cependant point douteux que la fluorescence verte, aussi bien que
le rayonnement rouge, de résonance, ^{soient} ~~sont~~ encore très intenses à 360°C ; ~~et que~~
l'effet de la température n'est pas aussi prononcé ^m que l'on serait tenté de le
supposer.)

Nous avons constaté ces faits ^{aussi bien,} ~~tant~~ en employant de la vapeur saturée qu'en
faisant ^{les} ~~nos~~ observations sur de la vapeur non saturée. Dans les deux cas l'influence
de la température est la-même.

III Observations faites au dessus de 400°C ; influence de la dissociation.

La dissociation de la vapeur d'iode (dans ces dernières années ^{elle} a fait l'objet
des recherches de M. M. Bodenstein et Stark²⁾). Les résultats des recherches de ces
auteurs se traduisent par les formules suivantes. Si l'on désigne par p_1 et
 p_2 les pressions de la vapeur d'iode mono- et diatomique, par K une con-
stante et par T la température absolue, on a sensiblement

¹⁾ Dans les "Fortschritte d. Physik" (1915, t. 2, p. 385) ^{on} ~~trouve~~ ^e une analyse d'un tra-
vail de M. Mc. Lennan (Proc. Roy. Society of London (A), 91, 1914, p. 23-29) sur la
fluorescence de la vapeur d'iode excitée par la lumière ultraviolette. M. Mc. Lennan aurait
trouvé que la fluorescence excitée par la lumière ultraviolette persiste ^{ait} ~~est~~ même à 1000°C ,
le rayonnement de résonance disparaissant à 326°C . ~~On voit que~~ Nos observations sont
pleinement en contradiction ^{avec} ~~avec~~ ce résultat.

²⁾ Guinier Stark et Max Bodenstein. Zeitschr. f. Elektrochemie, 1910, t. 16, p. 961.

d'a

su

chi

sa

ci

st

di

st

is

to

de

sa

tes

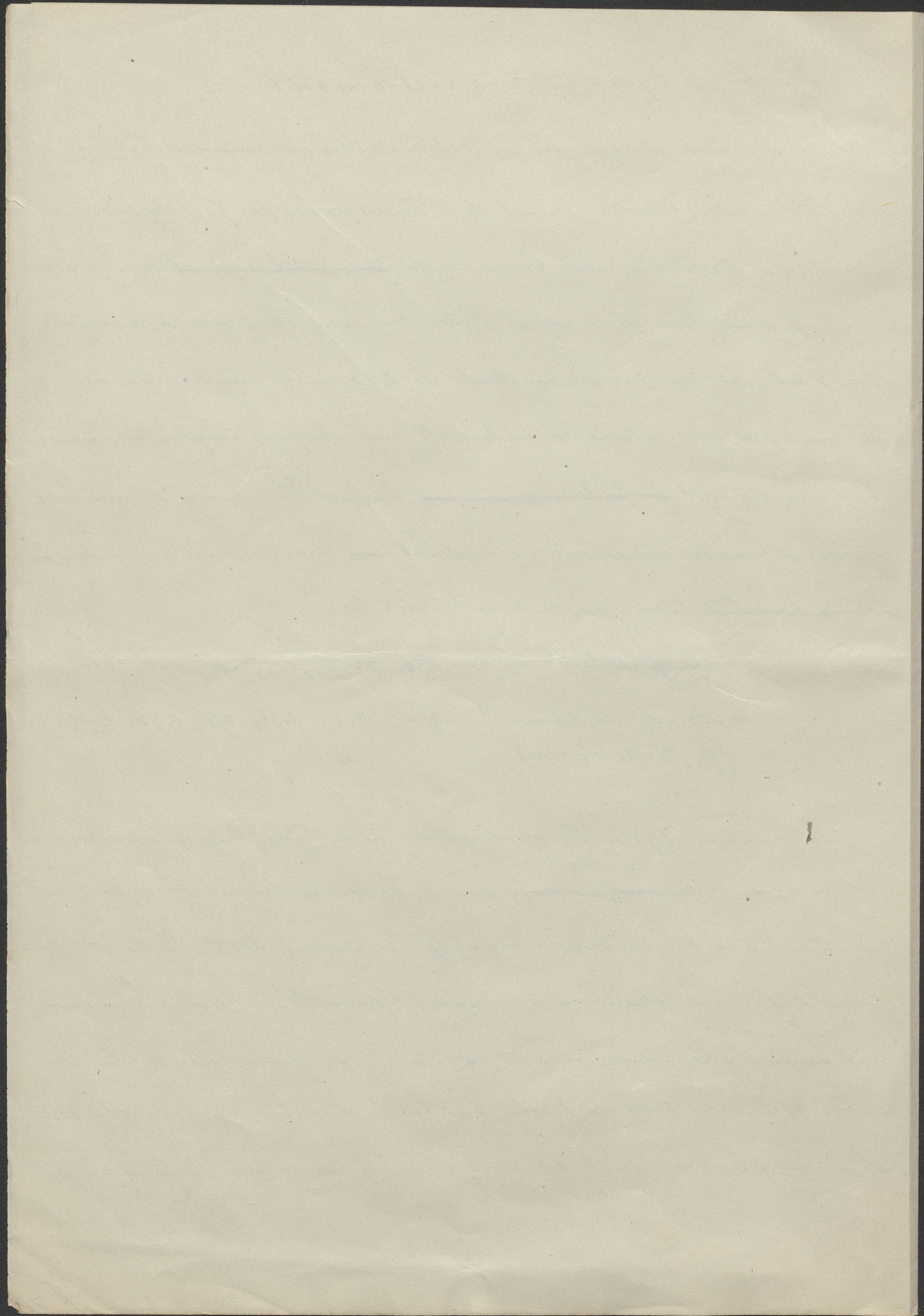
m

$$\frac{p_2^2}{p_1} = K' \text{ et } \log K' = -\frac{7762}{T} + 1.75 \log T - 0.000416 T + 0.422$$

Cette formule, obtenue en s'appuyant sur le théorème thermodynamique de M. Kœnst et d'ailleurs rentrant dans le cadre général de la Théorie fondée par J. Willard Gibbs, est en accord avec l'expérience; nous l'avons adoptée ~~pour point de départ~~ dans le calcul du degré de dissociation de la vapeur d'iode. Nous avons opéré avec de la vapeur saturée d'iode, sous une pression constante de 0.25 mm. de mercure. La formule citée nous a permis de calculer la constante K' pour chaque température; ~~alors on~~ obtient alors aisément ~~la fraction x, donnée~~ le rapport ^(x) du nombre des molécules dissociées au nombre des molécules qui existerait ^{en} dans les conditions données. ~~Il~~ ^{si la} ~~n'y avait point de dissociation, ne se produisait pas.~~

Température :	$t = 500^\circ; 600^\circ; 700^\circ; 800^\circ; 900^\circ$
Fraction des mol. dissociées	$x = 0.1; 0.36; 0.76; 0.95; 0.99$
$(p = p_1 + p_2 = \frac{1}{4} \text{ mm.})$	

La principale difficulté des observations faites à des températures élevées consiste en ce que le four ^{dans lequel on} ~~se trouve~~ ^{a placé le ballon contenant la vapeur et} lui-même de la lumière, lorsqu'on le chauffe au dessus de 500°C . Il devient impossible dès lors d'observer la fluorescence de la vapeur. Cependant une flamme ^{de} ~~gaz~~ suffisamment diluée d'air, est assez pâle pour qu'on puisse observer la fluorescence après avoir placé le ballon qui contient l'iode, dans la flamme même. Un grand bec de Meker était alimenté par le gaz d'éclairage que



On tirait des conduites à l'aide d'une pompe Saepe à l'huile. Un grand ballon de verre réduisait les oscillations de la pression du gaz, ^{le jeu} provoquées par les ~~fluctuations~~ de la pompe. On peut régler la quantité d'air qui aspire la flamme en acceptant à la partie inférieure un anneau mobile ^{dans la direction} (de haut en bas. La flamme avait 25 cm. de longueur et 4 cm. de diamètre; ~~malgré que~~ ^{et/pendant} ~~quoique~~ (la pression du gaz dans les tuyaux de la canalisation ~~était~~ ^{était} toujours ~~faible~~).

L'appareil en quartz que nous employâmes était composé d'un petit ballon de 3.5 cm. de diamètre. Les cristaux d'iode se trouvaient dans un petit récipient latéral ^(décrite plus haut). On introduisait la substance dans l'appareil de la manière ~~qui a été déjà pré-~~ ^{d'un ~~des~~ mastic blanc} ~~isée~~. On attachait le quartz au verre au moyen de ~~laque blanche~~ ou craie; le ^{mastic} ~~laque~~ était protégé contre l'action de la vapeur d'iode. A cette fin ^{(on mettait} ~~on mettait~~ ^{introduisait}) entre les tubes de quartz et de verre qui étaient d'un diamètre différent de l'écate d'amiante soigneusement lavée.

~~On faisait~~ ^{se faisait} l'expérience (de la manière suivante. Le tube latéral contenant les cristaux était placé dans un bain de température convenable. On plaçait le petit ballon dans la flamme du bec Meker, en l'éclairant d'un faisceau intense de lumière. La fluorescence disparaissait peu à peu. Le ballon semblait optiquement vide ^{ensuite intense}. On éloignait la flamme, peu à peu la fluorescence réapparaissait, d'abord faiblement, ~~ensuite~~.

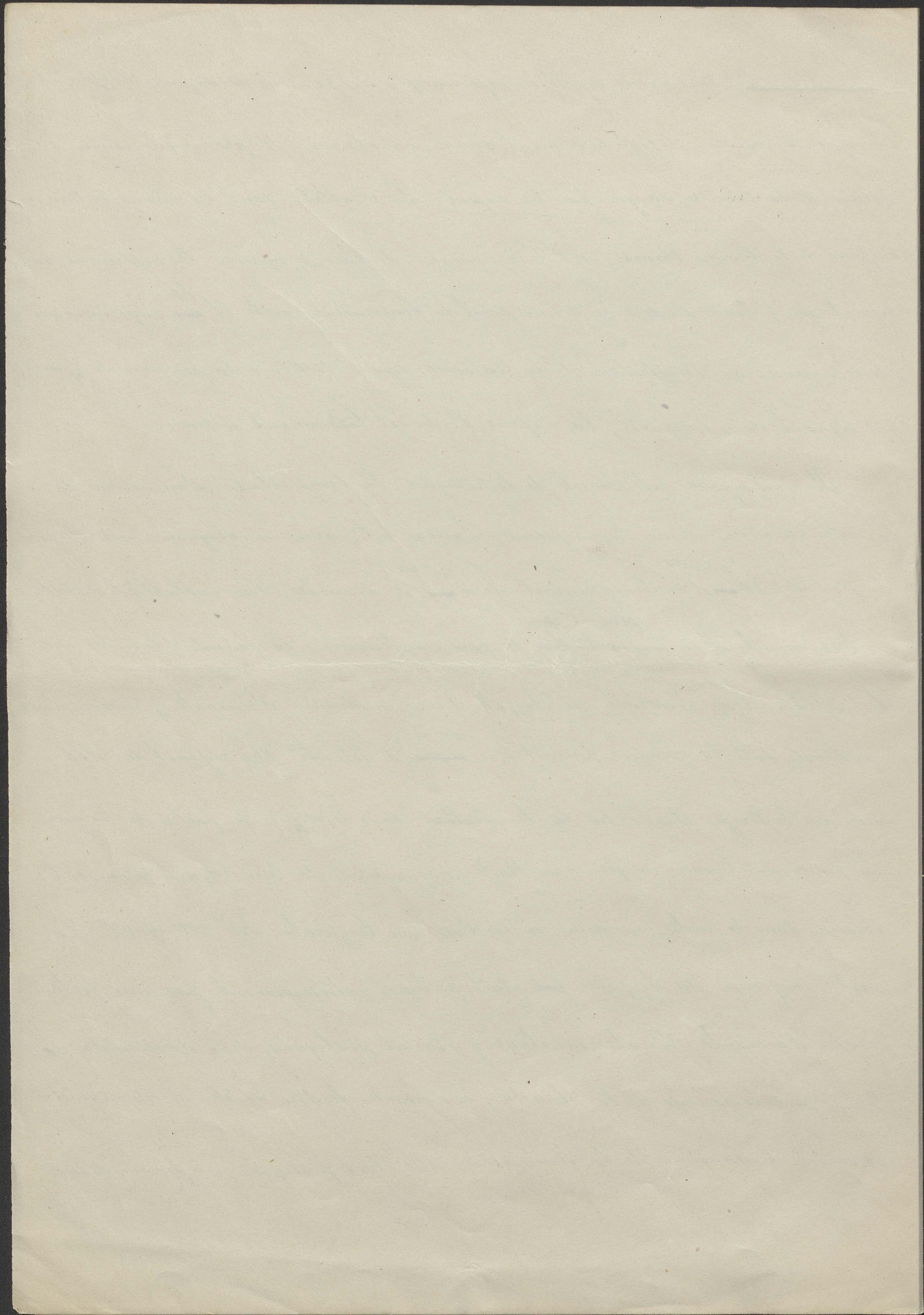
Il est utile de pourvoir la pompe d'un tampon d'ouate, afin de retenir les poussières fines de fer qui pourraient endommager l'appareil. Le bec Meker ainsi alimenté peut être employé avec avantage au lieu d'un chalumeau à soufflerie. Il donne une flamme plus grande et plus chaude.

de
de
emp
dige
" de
qu
la
de
v
b
m
m
a
s
p
s
e

~~xxxxx~~ ~~instante~~. Nous avons répété ces expériences à des pressions de vapeur différentes.

Lorsque la vapeur est suffisamment dense, on observe le phénomène connu d'émission (de la lumière orangée par la vapeur). Les résultats sont les mêmes, soit qu'on emploie de la lumière blanche, soit de la lumière de l'arc à mercure. Les expériences indiquent que l'atome d'iode ne donne point de fluorescence verte et ~~de~~ rayonnement "de résonance": la température de la flamme dépasse 1000°C .; à la pression de $\frac{1}{4}$ mm. qui régnait dans l'appareil, la vapeur d'iode est totalement dissociée.

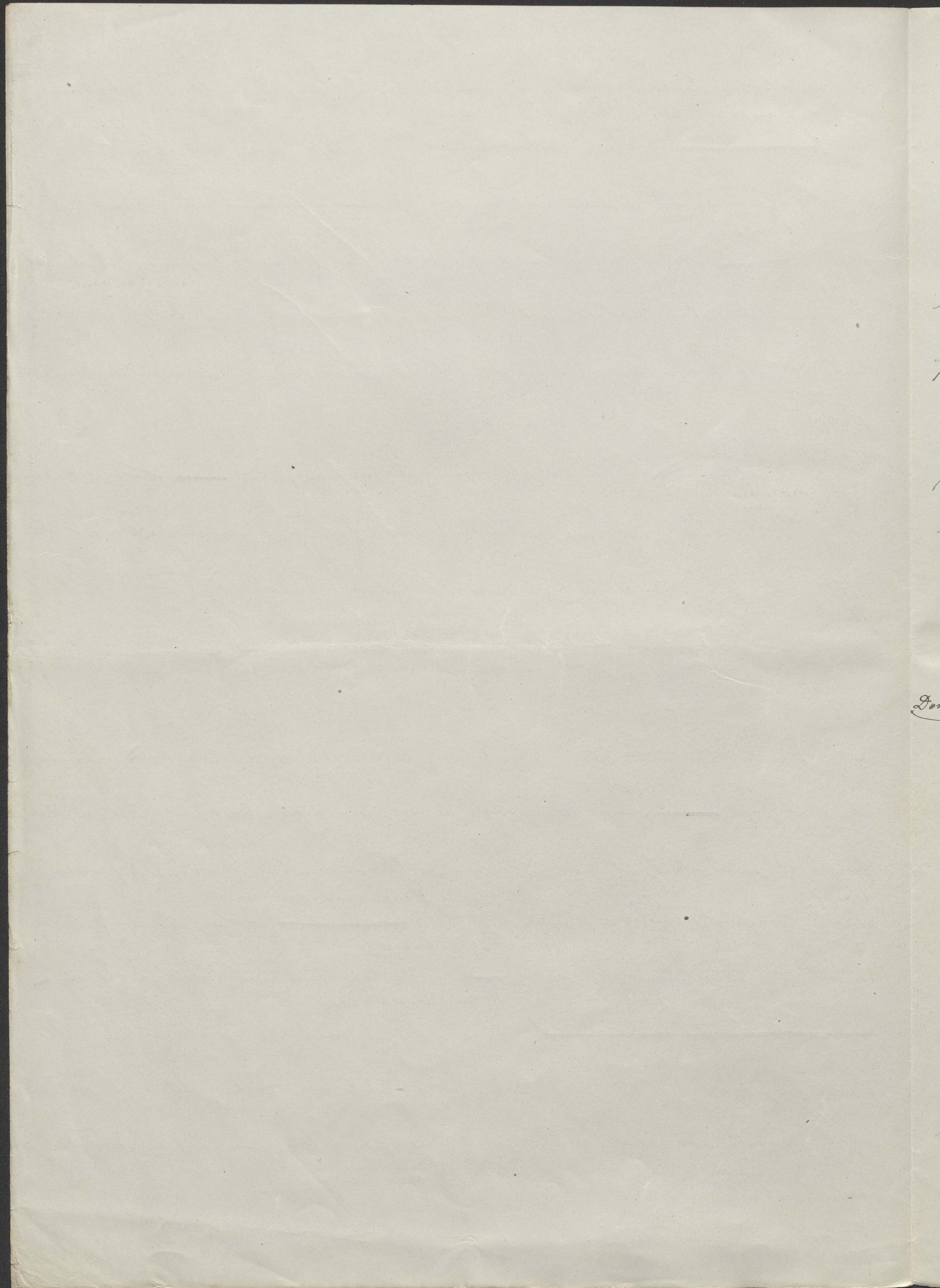
Il nous a paru intéressant de déterminer la température d'extinction de la fluorescence d'une façon précise. Dans ce but, nous employâmes un tuyau de fer de 70 ^{centimètres} de longueur et de 8 ^{centimètres} de diamètre. On installait ce tube verticalement et on ~~placait~~ ^{placait dans} sa partie inférieure la grande flamme du bec Meker. On couvrait le tuyau d'un morceau d'amiante ^{ou} pourvu d'une ouverture dont la grandeur pouvait être ^{variée} réglée à volonté. On réglait de cette manière le tirage et avec lui la température dans les différentes parties du tuyau. La paroi du tuyau en fer n'émettait presque point de lumière, quoiqu'on eût obtenu dans la partie moyenne près de l'axe une température de $800-900^{\circ}\text{C}$. La partie moyenne du tuyau ~~est~~ était protégée extérieurement par une forte couche d'amiante. Quatre ouvertures y étaient pratiquées; deux de diamètre de 9 mm. pour le passage de la lumière; une grande fenêtre de 36 mm. de diamètre servait à l'observation de la fluorescence; elle était pratiquée un peu au dessus



des ouvertures ^(plus haut) ~~et~~ ^{2°} ~~dessus~~ mentionnées; la quatrième ouverture permettait d'introduire
 couple thermo-électrique
 un ~~thermo-élément~~ platine-platine-rhodium. Les trois premières fenêtres étaient re-
 couvertes de ^(l'endroit) minces ~~feuilles~~ de mica. La soudure du ~~thermo-élément~~ ^{couple} était placée très
 près de ~~la place~~ du ballon de quartz d'où sortait la lumière. L'appareil contenant
 la vapeur d'iode et les cristaux était le même qu'auparavant, sauf les dimensions
 des tubes. Le tube contenant les cristaux d'iode ^{était} ~~est~~ porté à une température constante
 de 20°C au moyen de l'eau courante.

On employait ~~de~~ la lumière blanche émise par un petit ~~Lampe~~ ^{arc} à charbon.
 Dans ces conditions, nous avons pu nous convaincre que la fluorescence ^{était} ~~est~~ encore très
 nette à la température de 700°C . On pouvait remarquer une faible lueur de fluo-
 rescence à une température de 780°C , lorsque la fraction des molécules dissociées s'élevait à
 90%.

Ainsi la destruction de la fluorescence est liée à la dissociation. Voici ^{ci} ~~une~~ autre
 expérience qui ^{paraît} ~~semble~~ confirmer ce point de vue. La vapeur d'iode non saturée, chauffée
 à volume constant, est moins dissociée que la vapeur saturée chauffée à pression con-
 stante. Ceci paraît probable a priori, puisque ^(une augmentation) ~~l'augmentation~~ de la pression fait di-
 minuer la dissociation. Nous avons ^{séparé à la lampe} ~~isolé~~ le ballon contenant la vapeur d'iode ^{avec les cristaux d'iode} ~~du~~
~~cristaux~~ ^(récipient) ~~contenus dans le récipient~~ latéral qui pendant cette opération était porté
 à une température de 20°C . Après avoir sondé au ballon une baguette de quartz,
 on le plaçait dans le tuyau de fer. Dans ces conditions nous avons pu observer la
 fluorescence même à 825°C .



Après avoir fait l'expérience nous avons remarqué à la température ordinaire, que le petit ballon contenait des cristaux minuscules d'iode; cependant à cette température la vapeur devait être non saturée. L'excès d'iode a pu pénétrer dans le ballon d'une façon accidentelle; mais comme ^{un} l'excès d'iode a dû continuer à diminuer le nombre de molécules dissociées, nos conclusions ne ^(s'en trouvent) ~~sont~~ pas modifiées.

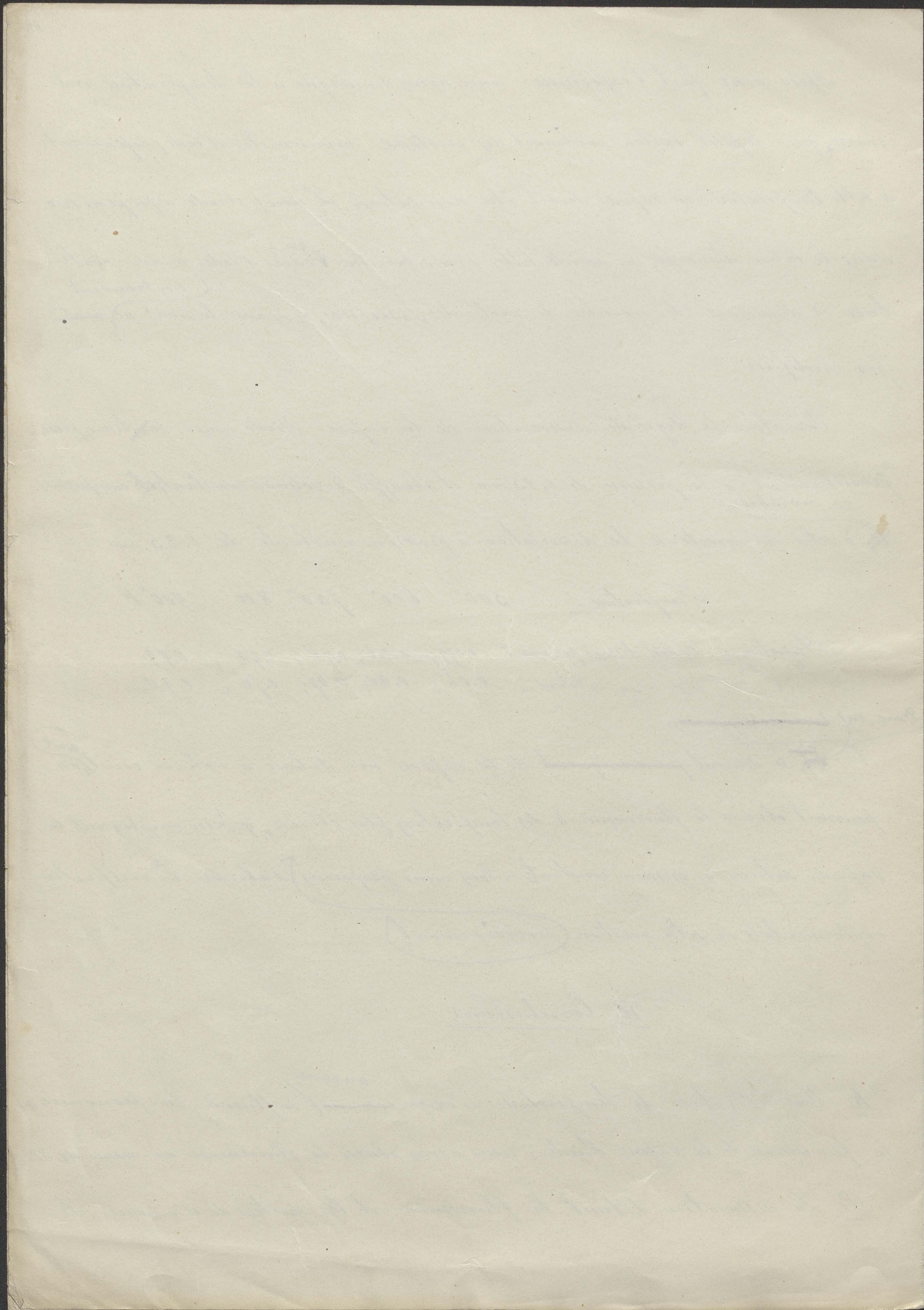
Calculons le degré de dissociation de la vapeur d'iode non saturée, prise primitivement à la pression de 0.25 mm. et chauffée à volume constant; ~~et~~ comparons ce nombre ~~à~~ à celui qui caractérise la dissociation à pression constante de 0.25 mm.

Température	500°	600°	700°	800°	900° C.
Proportion <u>x</u> des mol. dissociées à press. const.	0.099	0.36	0.76	0.95	0.99
" " " " " " " volume "	0.06	0.20	0.47	0.76	0.90

Donc, en ~~conséquence~~ ~~se servant~~ ~~pour~~ ~~uniquement~~ de la vapeur non saturée à volume constant, ^{ant} on pourrait observer la fluorescence à des températures plus élevées, qu'en employant la vapeur saturée à pression constante. Nous nous proposons d'abord la vérification expérimentale de cette question (prochainement.)

IV. Conclusions.

- A. Une élévation de température n'exerce ^{aucune} ~~pas une~~ influence très prononcée sur la fluorescence de la vapeur d'iode; nous avons observé la fluorescence au-dessus de 800°.
- B. La dissociation détruit la fluorescence et les spectres de résonance. Le



mécanisme de l'émission, correspondant aux milliers de lignes d'absorption de la partie visible du spectre, appartient non pas à l'atome mais à la molécule d'iode.

Ainsi il est légitime de supposer

~~Il faut donc croire~~ ^{est} (que la structure de l'atome ~~doit être~~ relativement simple.

Nos idées sont ~~en~~ ^{en} accord ~~parfait~~ avec ~~les~~ autres recherches dans le même domaine.

En effet, la vapeur de mercure, étant monoatomique, présente un spectre de réso-

nance très simple. Les phénomènes compliqués des spectres de résonance que M. Wood

a observés dans la vapeur de sodium sont dus, d'après M. Dumas, ^{à des} ~~impuretés~~ (impure-

tés; la vapeur de sodium pure ne donne que les raies D.

M. ~~le prof.~~ J. de Nowalski a bien voulu nous prêter certains appareils employés dans cette recherche; ^{d'autres} ~~nos collègues des différents laboratoires de physique de Varsovie~~ nous ont obligeamment permis de profiter des ressources de leurs laboratoires. Qu'il nous soit permis d'exprimer ~~ici~~ à ces Messieurs nos sincères remerciements.

^{Le précieux concours}
~~Une partie des frais (à ce travail) a été couverte par une subvention de la fondation~~ ^{Le précieux concours} ~~Mich~~
nowoski^E nous a permis de subvenir aux frais de ce travail.

Laboratoire de Physique de l'École Supérieure
 de Construction des Machines et d'Électrotechnique fondée
 par H. Wawelberg et S. Potwand, à Varsovie.

